

Estimation et intervalles de crédibilité pour le taux de reproduction de la Covid19 par échantillonnage Monte Carlo Langevin proximal

P. Abry^{1,†}, G. Fort^{2,‡}, B. Pascal³, N. Pustelnik^{1,4}

Colloque GRETSI 2022, Nancy

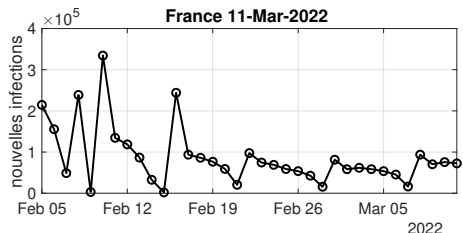
-
1. CNRS, ENS de Lyon, Laboratoire de Physique, France,
 2. CNRS, Institut de Mathématique de Toulouse, France,
 3. CNRS, Université de Lille, CRISTAL, France
 4. UC Louvain, Belgium

† Soutenu partiellement par la bourse 80PRIME-2021 CNRS

‡ Financé en partie par la *Fondation Simone et Cino Del Duca, Institut de France*

Enjeux principaux de la surveillance épidémiologique

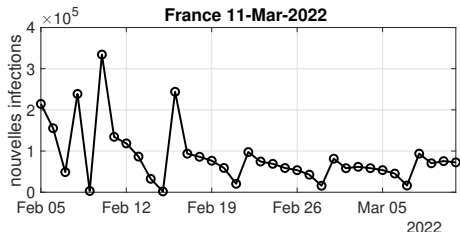
Décompte quotidien du nombre de nouveaux cas



*données collectées
par l'Université Johns Hopkins
auprès des Agences de Santé Publique*

Enjeux principaux de la surveillance épidémiologique

Décompte quotidien du nombre de nouveaux cas



*données collectées
par l'Université Johns Hopkins
auprès des Agences de Santé Publique*

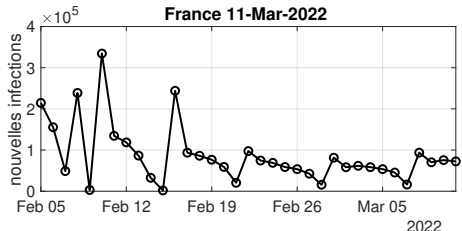
Élaborer des mesures sanitaires adaptées et évaluer leur efficacité nécessite :

- des outils de surveillance performants
- robustes à la mauvaise qualité des données
- accompagnés de niveaux de confiance fiables

*modèle épidémiologique,
gérer les valeurs aberrantes,
intervalles de crédibilité.*

Enjeux principaux de la surveillance épidémiologique

Décompte quotidien du nombre de nouveaux cas



données collectées
par l'Université Johns Hopkins
auprès des Agences de Santé Publique

Élaborer des mesures sanitaires adaptées et évaluer leur efficacité nécessite :

- des outils de surveillance performants
- robustes à la mauvaise qualité des données
- accompagnés de niveaux de confiance fiables

modèle épidémiologique,
gérer les valeurs aberrantes,
intervalles de crédibilité.

Indicateur clé : taux de reproduction R_0

(Liu et col, 2018, PNAS)

"nombre moyen de cas secondaires générés par une personne contagieuse typique"

⇒ relaxé en un **taux de reproduction effectif R_t** au jour t

(Cori et col, 2013, Am Journal of Epidemiology)

Modèle bayésien de la propagation de la Covid19

Z_t : nouvelles infections au jour t

$$\mathbb{P}(Z_t | Z_1, \dots, Z_{t-1}) = \text{Poisson}(p_t(\theta)), \quad p_t(\theta) = R_t \sum_{u=1}^{\tau_\phi} \Phi_u Z_{t-u} + O_t$$

Φ \Rightarrow délai aléatoire entre infections primaire et secondaire

Paramètres à estimer $\theta = (R, O)$

- $R = (R_1, \dots, R_T)$ les taux de reproduction ;
- $O = (O_1, \dots, O_T)$ valeurs aberrantes.

(Pascal et col, 2022, IEEE Trans Sig Process ; Artigas et col, 2022, EUSIPCO ; Fort et col, 2022, *preprint*)

Modèle bayésien de la propagation de la Covid19

Z_t : nouvelles infections au jour t

$$\mathbb{P}(Z_t | Z_1, \dots, Z_{t-1}) = \text{Poisson}(p_t(\theta)), \quad p_t(\theta) = R_t \sum_{u=1}^{\tau_\phi} \Phi_u Z_{t-u} + O_t$$

Φ \Rightarrow délai aléatoire entre infections primaire et secondaire

Paramètres à estimer $\theta = (\mathbf{R}, \mathbf{O})$

- $\mathbf{R} = (R_1, \dots, R_T)$ les taux de reproduction ;
- $\mathbf{O} = (O_1, \dots, O_T)$ valeurs aberrantes.

(Pascal et col, 2022, IEEE Trans Sig Process ; Artigas et col, 2022, EUSIPCO ; Fort et col, 2022, preprint)

Log-vraisemblance du modèle de Poisson

$$-f(\theta) := \begin{cases} \sum_{t=1}^T (Z_t \ln p_t(\theta) - p_t(\theta)) & \text{si } \theta \in \mathcal{D} = \{\theta \mid \forall t, p_t(\theta) \geq 0\}, \\ -\infty & \text{sinon.} \end{cases}$$

Modèle bayésien de la propagation de la Covid19

Z_t : nouvelles infections au jour t

$$\mathbb{P}(Z_t | Z_1, \dots, Z_{t-1}) = \text{Poisson}(p_t(\theta)), \quad p_t(\theta) = R_t \sum_{u=1}^{\tau_\phi} \Phi_u Z_{t-u} + O_t$$

Φ \Rightarrow délai aléatoire entre infections primaire et secondaire

Paramètres à estimer $\theta = (\mathbf{R}, \mathbf{O})$

- $\mathbf{R} = (R_1, \dots, R_T)$ les taux de reproduction ;
- $\mathbf{O} = (O_1, \dots, O_T)$ valeurs aberrantes.

(Pascal et col, 2022, IEEE Trans Sig Process ; Artigas et col, 2022, EUSIPCO ; Fort et col, 2022, preprint)

Log-vraisemblance du modèle de Poisson

$$-f(\theta) := \begin{cases} \sum_{t=1}^T (Z_t \ln p_t(\theta) - p_t(\theta)) & \text{si } \theta \in \mathcal{D} = \{\theta \mid \forall t, p_t(\theta) \geq 0\}, \\ -\infty & \text{sinon.} \end{cases}$$

Log-distribution *a priori*

- $R_t - 2R_{t-1} + R_{t-2} \sim \text{Laplace}(\lambda_R)$
- $O_t \sim \text{Laplace}(\lambda_O)$

$$\implies -g(A\theta) = -\lambda_R \|D_2 \mathbf{R}\|_1 - \lambda_O \|\mathbf{O}\|_1, \quad D_2 \in \mathbb{R}^{T-2 \times T} : \text{matrice du laplacien}$$

Modèle bayésien de la propagation de la Covid19

Z_t : nouvelles infections au jour t

$$\mathbb{P}(Z_t | Z_1, \dots, Z_{t-1}) = \text{Poisson}(p_t(\theta)), \quad p_t(\theta) = R_t \sum_{u=1}^{\tau_\phi} \Phi_u Z_{t-u} + O_t$$

Φ ⇒ délai aléatoire entre infections primaire et secondaire

Paramètres à estimer $\theta = (\mathbf{R}, \mathbf{O})$

- $\mathbf{R} = (R_1, \dots, R_T)$ les taux de reproduction ;
- $\mathbf{O} = (O_1, \dots, O_T)$ valeurs aberrantes.

(Pascal et col, 2022, IEEE Trans Sig Process ; Artigas et col, 2022, EUSIPCO ; Fort et col, 2022, preprint)

Log-vraisemblance du modèle de Poisson

$$-f(\theta) := \begin{cases} \sum_{t=1}^T (Z_t \ln p_t(\theta) - p_t(\theta)) & \text{si } \theta \in \mathcal{D} = \{\theta \mid \forall t, p_t(\theta) \geq 0\}, \\ -\infty & \text{sinon.} \end{cases}$$

Log-distribution *a priori*

- $R_t - 2R_{t-1} + R_{t-2} \sim \text{Laplace}(\lambda_R)$
- $O_t \sim \text{Laplace}(\lambda_O)$

$$\implies -g(A\theta) = -\lambda_R \|D_2 \mathbf{R}\|_1 - \lambda_O \|\mathbf{O}\|_1, \quad D_2 \in \mathbb{R}^{T-2 \times T} : \text{matrice du laplacien}$$

$$A = \begin{pmatrix} D_2 & 0 \\ 0 & I \end{pmatrix} \in \mathbb{R}^{(2T-2) \times 2T} \Rightarrow \bar{A} = \begin{pmatrix} \bar{D}_2 & 0 \\ 0 & I \end{pmatrix} \in \mathbb{R}^{2T \times 2T}, \text{ inversible}$$

(Fort et col, 2022, preprint)

Cadre de travail et objectifs

Formalisme bayésien pour la propagation de la Covid19

estimer $\{R_t, t = 1, \dots, T\} \equiv$ échantillonner sous une loi a posteriori[†] de la forme :

$$\pi(\theta) \propto \exp(-f(\theta) - g(A\theta)) \mathbb{1}_{\mathcal{D}}(\theta)$$

(Artigas et col, 2022, EUSIPCO ; Fort et col, 2022, *preprint*)

[†] π est définie à une constante de normalisation près.

Formalisme bayésien pour la propagation de la Covid19

estimer $\{R_t, t = 1, \dots, T\} \equiv$ échantillonner sous une loi a posteriori[†] de la forme :

$$\pi(\theta) \propto \exp(-f(\theta) - g(A\theta)) \mathbb{1}_{\mathcal{D}}(\theta)$$

- $\theta \in \mathbb{R}^d$ vecteur des paramètres,
- f différentiable,
- $\mathcal{D} \subset \mathbb{R}^d$ domaine admissible,
- g convexe, non différentiable,
- $A \in \mathbb{R}^{c \times d}$ opérateur linéaire,
- $c \leq d$, A de rang plein.

(Artigas et col, 2022, EUSIPCO ; Fort et col, 2022, preprint)

[†] π est définie à une constante de normalisation près.

Formalisme bayésien pour la propagation de la Covid19

estimer $\{R_t, t = 1, \dots, T\} \equiv$ échantillonner sous une loi a posteriori[†] de la forme :

$$\pi(\theta) \propto \exp(-f(\theta) - g(A\theta)) \mathbb{1}_{\mathcal{D}}(\theta)$$

- $\theta \in \mathbb{R}^d$ vecteur des paramètres,
- f différentiable,
- $\mathcal{D} \subset \mathbb{R}^d$ domaine admissible,
- g convexe, non différentiable,
- $A \in \mathbb{R}^{c \times d}$ opérateur linéaire,
- $c \leq d$, A de rang plein.

(Artigas et col, 2022, EUSIPCO ; Fort et col, 2022, preprint)

Méthode de Monte Carlo par chaîne de Markov

[†] π est définie à une constante de normalisation près.

Cadre de travail et objectifs

Formalisme bayésien pour la propagation de la Covid19

estimer $\{R_t, t = 1, \dots, T\} \equiv$ échantillonner sous une loi a posteriori[†] de la forme :

$$\pi(\theta) \propto \exp(-f(\theta) - g(A\theta)) \mathbb{1}_{\mathcal{D}}(\theta)$$

- $\theta \in \mathbb{R}^d$ vecteur des paramètres,
- f différentiable,
- $\mathcal{D} \subset \mathbb{R}^d$ domaine admissible,
- g convexe, non différentiable,
- $A \in \mathbb{R}^{c \times d}$ opérateur linéaire,
- $c \leq d$, A de rang plein.

(Artigas et col, 2022, EUSIPCO ; Fort et col, 2022, preprint)

Méthode de Monte Carlo par chaîne de Markov

1) générer une suite aléatoire $\{\theta^n, n \in \mathbb{N}\}$ telle que

- θ^{n+1} ne dépend que de θ^n ,
- à convergence, i.e., lorsque $n \rightarrow +\infty$, $\theta^n \sim \pi$,

[†] π est définie à une constante de normalisation près.

Cadre de travail et objectifs

Formalisme bayésien pour la propagation de la Covid19

estimer $\{R_t, t = 1, \dots, T\} \equiv$ échantillonner sous une loi a posteriori[†] de la forme :

$$\pi(\theta) \propto \exp(-f(\theta) - g(A\theta)) \mathbb{1}_{\mathcal{D}}(\theta)$$

- $\theta \in \mathbb{R}^d$ vecteur des paramètres,
- f différentiable,
- $\mathcal{D} \subset \mathbb{R}^d$ domaine admissible,
- g convexe, non différentiable,
- $A \in \mathbb{R}^{c \times d}$ opérateur linéaire,
- $c \leq d$, A de rang plein.

(Artigas et col, 2022, EUSIPCO ; Fort et col, 2022, preprint)

Méthode de Monte Carlo par chaîne de Markov

1) générer une suite aléatoire $\{\theta^n, n \in \mathbb{N}\}$ telle que

- θ^{n+1} ne dépend que de θ^n ,
- à convergence, i.e., lorsque $n \rightarrow +\infty$, $\theta^n \sim \pi$,

2) calculer les estimateurs bayésiens, e.g., les intervalles de crédibilité,

à partir des échantillons $\{\theta^n, n \geq N\}$ pour $N \gg 1$

[†] π est définie à une constante de normalisation près.

Algorithme de type Hastings-Metropolis

1) proposition gaussienne : $\theta^{n+\frac{1}{2}} = \mu(\theta^n) + \sqrt{2\gamma}\xi^{n+1}$, $\xi^{n+1} \sim \mathcal{N}_d(0, C)$;
affranchie de la contrainte $\theta \in \mathcal{D}$;

Algorithme de type Hastings-Metropolis

1) proposition gaussienne : $\theta^{n+\frac{1}{2}} = \mu(\theta^n) + \sqrt{2\gamma}\xi^{n+1}$, $\xi^{n+1} \sim \mathcal{N}_d(0, C)$;

affranchie de la contrainte $\theta \in \mathcal{D}$;

2) acceptation-rejet : $\theta^{n+1} = \theta^{n+\frac{1}{2}}$ aléatoirement, et seulement si $\theta^{n+\frac{1}{2}} \in \mathcal{D}$;

$\theta^{n+1} = \theta^n$, sinon.

(Kent, 1978, *Adv Appl Probab*)

Algorithme de type Hastings-Metropolis

1) proposition gaussienne : $\theta^{n+\frac{1}{2}} = \mu(\theta^n) + \sqrt{2\gamma}\xi^{n+1}$, $\xi^{n+1} \sim \mathcal{N}_d(0, C)$;

affranchie de la contrainte $\theta \in \mathcal{D}$;

2) acceptation-rejet : $\theta^{n+1} = \theta^{n+\frac{1}{2}}$ aléatoirement, et seulement si $\theta^{n+\frac{1}{2}} \in \mathcal{D}$;

$\theta^{n+1} = \theta^n$, sinon.

(Kent, 1978, *Adv Appl Probab*)

Cas π régulière : dynamique de Langevin (Roberts & Tweedie, 1996, *Bernoulli*)

$$\mu(\theta) = \theta + \gamma \nabla \ln \pi(\theta), \quad \gamma > 0$$

⇒ déplacement vers les régions de forte probabilité

Algorithme de type Hastings-Metropolis

1) proposition gaussienne : $\theta^{n+\frac{1}{2}} = \mu(\theta^n) + \sqrt{2\gamma}\xi^{n+1}$, $\xi^{n+1} \sim \mathcal{N}_d(0, C)$;

affranchie de la contrainte $\theta \in \mathcal{D}$;

2) acceptation-rejet : $\theta^{n+1} = \theta^{n+\frac{1}{2}}$ aléatoirement, et seulement si $\theta^{n+\frac{1}{2}} \in \mathcal{D}$;

$\theta^{n+1} = \theta^n$, sinon.

(Kent, 1978, *Adv Appl Probab*)

Cas π régulière : dynamique de Langevin (Roberts & Tweedie, 1996, *Bernoulli*)

$$\mu(\theta) = \theta + \gamma \nabla \ln \pi(\theta), \quad \gamma > 0$$

\implies déplacement vers les régions de forte probabilité

Cas π non différentiable : Langevin proximal

$$\pi \propto \exp(-f - g(A \cdot)) \mathbb{1}_{\mathcal{D}}$$

- f différentiable de gradient ∇f ,

- g non-différentiable, convexe,

d'opérateur proximal $\text{prox}_{\rho g} = (I + \rho \partial g)^{-1}$, $\rho > 0$ connu explicitement.

But : comparaison de différentes approches proximales pour la construction de μ .

Monte Carlo Langevin proximal

Objectif : terme de dérive $\mu(\theta)$ adapté à $\pi \propto \exp(-f - g(A\cdot)) \mathbb{1}_{\mathcal{D}}$, g non régulièrre.

$$\text{prox}_{\gamma g(A\cdot)}(\theta) = \underset{\varphi \in \mathbb{R}^d}{\operatorname{argmin}} \left(\frac{1}{2} \|\theta - \varphi\|_2^2 + \gamma g(A\varphi) \right)$$

Monte Carlo Langevin proximal

Objectif : terme de dérive $\mu(\theta)$ adapté à $\pi \propto \exp(-f - g(A\cdot)) \mathbb{1}_{\mathcal{D}}$, g non régulièrre.

$$\text{prox}_{\gamma g(A\cdot)}(\theta) = \underset{\varphi \in \mathbb{R}^d}{\operatorname{argmin}} \left(\frac{1}{2} \|\theta - \varphi\|_2^2 + \gamma g(A\varphi) \right)$$

Méthodes primales

Monte Carlo Langevin proximal

Objectif : terme de dérive $\mu(\theta)$ adapté à $\pi \propto \exp(-f - g(A\cdot)) \mathbb{1}_{\mathcal{D}}$, g non régulière.

$$\text{prox}_{\gamma g(A\cdot)}(\theta) = \underset{\varphi \in \mathbb{R}^d}{\operatorname{argmin}} \left(\frac{1}{2} \|\theta - \varphi\|_2^2 + \gamma g(A\varphi) \right)$$

Méthodes primales

- Dérive de Moreau : approximation régulière de g par son enveloppe de Moreau

$$\mu^M(\theta) = \theta - \gamma \nabla f(\theta) - \frac{\gamma}{\rho} A^\top (I - \text{prox}_{\rho g}) A \theta, \quad \rho = \gamma$$

(Durmus et col, 2018, *SIAM J Imaging Sci*; Luu et col, 2020, *Methodol Comput Appl Probab*)

Objectif : terme de dérive $\mu(\theta)$ adapté à $\pi \propto \exp(-f - g(A\cdot)) \mathbb{1}_D$, g non régulière.

$$\text{prox}_{\gamma g(A\cdot)}(\theta) = \underset{\varphi \in \mathbb{R}^d}{\operatorname{argmin}} \left(\frac{1}{2} \|\theta - \varphi\|_2^2 + \gamma g(A\varphi) \right)$$

Méthodes primales

- Dérive de Moreau : approximation régulière de g par son enveloppe de Moreau

$$\mu^M(\theta) = \theta - \gamma \nabla f(\theta) - \frac{\gamma}{\rho} A^\top (I - \text{prox}_{\rho g}) A \theta, \quad \rho = \gamma$$

(Durmus et col, 2018, *SIAM J Imaging Sci*; Luu et col, 2020, *Methodol Comput Appl Probab*)

- Dérive PGdec : si $A A^\top = \nu I$, avec $\nu > 0 \implies$ forme explicite de $\text{prox}_{\gamma g(A\cdot)}$

$$\mu^{\text{PGdec}}(\theta) = \text{prox}_{\gamma g(A\cdot)}(\theta - \gamma \nabla f(\theta))$$

étendu à $g(A\cdot) = \sum_{i=1}^I g_i(A_i \cdot)$, avec $A_i A_i^\top = \nu_i I$, $\nu_i > 0$ (Fort et col, 2022, *preprint*)

Objectif : terme de dérive $\mu(\theta)$ adapté à $\pi \propto \exp(-f - g(A\cdot)) \mathbb{1}_D$, g non régulière.

$$\text{prox}_{\gamma g(A\cdot)}(\theta) = \underset{\varphi \in \mathbb{R}^d}{\operatorname{argmin}} \left(\frac{1}{2} \|\theta - \varphi\|_2^2 + \gamma g(A\varphi) \right)$$

Méthodes primales

- Dérive de Moreau : approximation régulière de g par son enveloppe de Moreau

$$\mu^M(\theta) = \theta - \gamma \nabla f(\theta) - \frac{\gamma}{\rho} A^\top (I - \text{prox}_{\rho g}) A \theta, \quad \rho = \gamma$$

(Durmus et col, 2018, *SIAM J Imaging Sci*; Luu et col, 2020, *Methodol Comput Appl Probab*)

- Dérive PGdec : si $AA^\top = \nu I$, avec $\nu > 0 \implies$ forme explicite de $\text{prox}_{\gamma g(A\cdot)}$

$$\mu^{\text{PGdec}}(\theta) = \text{prox}_{\gamma g(A\cdot)}(\theta - \gamma \nabla f(\theta))$$

étendu à $g(A\cdot) = \sum_{i=1}^I g_i(A_i \cdot)$, avec $A_i A_i^\top = \nu_i I$, $\nu_i > 0$ (Fort et col, 2022, *preprint*)

- Dérive marche aléatoire : $\mu^{\text{RM}}(\theta) = \theta$

Monte Carlo Langevin proximal

Objectif : terme de dérive $\mu(\theta)$ adapté à $\pi \propto \exp(-f - g(A\cdot)) \mathbb{1}_{\mathcal{D}}$, g non régulière.

Monte Carlo Langevin proximal

Objectif : terme de dérive $\mu(\theta)$ adapté à $\pi \propto \exp(-f - g(A\cdot)) \mathbb{1}_{\mathcal{D}}$, g non régulière.

$A \in \mathbb{R}^{c \times d}$, $c \leq d$ de **rang plein** \implies extension **inversible** $\bar{A} \in \mathbb{R}^{d \times d}$

terme de dérive **dual** $\tilde{\mu}(\tilde{\theta})$, $\tilde{\theta} = \bar{A}\theta$, adapté à $\tilde{\pi} \propto \exp\left(-f(\bar{A}^{-1}\cdot) - \bar{g}\right) \mathbb{1}_{\mathcal{D}}(\bar{A}^{-1}\cdot)$

Monte Carlo Langevin proximal

Objectif : terme de dérive $\mu(\theta)$ adapté à $\pi \propto \exp(-f - g(\mathbf{A}\cdot)) \mathbb{1}_{\mathcal{D}}$, g non régulière.

$\mathbf{A} \in \mathbb{R}^{c \times d}$, $c \leq d$ de **rang plein** \implies extension **inversible** $\bar{\mathbf{A}} \in \mathbb{R}^{d \times d}$

terme de dérive **dual** $\tilde{\mu}(\tilde{\theta})$, $\tilde{\theta} = \bar{\mathbf{A}}\theta$, adapté à $\tilde{\pi} \propto \exp\left(-f(\bar{\mathbf{A}}^{-1}\cdot) - \bar{g}\right) \mathbb{1}_{\mathcal{D}}(\bar{\mathbf{A}}^{-1}\cdot)$

Méthodes duales

Monte Carlo Langevin proximal

Objectif : terme de dérive $\mu(\theta)$ adapté à $\pi \propto \exp(-f - g(A\cdot)) \mathbb{1}_{\mathcal{D}}$, g non régulière.

$A \in \mathbb{R}^{c \times d}$, $c \leq d$ de **rang plein** \implies extension **inversible** $\bar{A} \in \mathbb{R}^{d \times d}$

terme de dérive **dual** $\tilde{\mu}(\tilde{\theta})$, $\tilde{\theta} = \bar{A}\theta$, adapté à $\tilde{\pi} \propto \exp\left(-f(\bar{A}^{-1}\cdot) - \bar{g}\right) \mathbb{1}_{\mathcal{D}}(\bar{A}^{-1}\cdot)$

Méthodes duales

- Dérive de Moreau duale :

$$\tilde{\mu}^M(\tilde{\theta}) = \tilde{\theta} - \gamma \bar{A}^{-\top} \nabla f(\bar{A}^{-1}\tilde{\theta}) - \frac{\gamma}{\rho} (I - \text{prox}_{\rho \bar{g}})\tilde{\theta}, \quad \rho = \gamma$$

Monte Carlo Langevin proximal

Objectif : terme de dérive $\mu(\theta)$ adapté à $\pi \propto \exp(-f - g(A\cdot)) \mathbb{1}_{\mathcal{D}}$, g non régulière.

$A \in \mathbb{R}^{c \times d}$, $c \leq d$ de **rang plein** \implies extension **inversible** $\bar{A} \in \mathbb{R}^{d \times d}$

terme de dérive **dual** $\tilde{\mu}(\tilde{\theta})$, $\tilde{\theta} = \bar{A}\theta$, adapté à $\tilde{\pi} \propto \exp\left(-f(\bar{A}^{-1}\cdot) - \bar{g}\right) \mathbb{1}_{\mathcal{D}}(\bar{A}^{-1}\cdot)$

Méthodes duales

- Dérive de Moreau duale :

$$\tilde{\mu}^M(\tilde{\theta}) = \tilde{\theta} - \gamma \bar{A}^{-\top} \nabla f(\bar{A}^{-1}\tilde{\theta}) - \frac{\gamma}{\rho} (I - \text{prox}_{\rho \bar{g}})\tilde{\theta}, \quad \rho = \gamma$$

- Dérive PGdual :

$$\tilde{\mu}^{PG}(\tilde{\theta}) = \text{prox}_{\gamma \bar{g}} \left(\tilde{\theta} - \gamma \bar{A}^{-\top} \nabla f(\bar{A}^{-1}\tilde{\theta}) \right)$$

(Artigas, 2022, *EUSIPCO*; Fort et col, 2022, *preprint*)

Monte Carlo Langevin proximal

Objectif : terme de dérive $\mu(\theta)$ adapté à $\pi \propto \exp(-f - g(A\cdot)) \mathbb{1}_{\mathcal{D}}$, g non régulière.

$A \in \mathbb{R}^{c \times d}$, $c \leq d$ de **rang plein** \implies extension **inversible** $\bar{A} \in \mathbb{R}^{d \times d}$

terme de dérive **dual** $\tilde{\mu}(\tilde{\theta})$, $\tilde{\theta} = \bar{A}\theta$, adapté à $\tilde{\pi} \propto \exp\left(-f(\bar{A}^{-1}\cdot) - \bar{g}\right) \mathbb{1}_{\mathcal{D}}(\bar{A}^{-1}\cdot)$

Méthodes duales

- Dérive de Moreau duale :

$$\tilde{\mu}^M(\tilde{\theta}) = \tilde{\theta} - \gamma \bar{A}^{-\top} \nabla f(\bar{A}^{-1}\tilde{\theta}) - \frac{\gamma}{\rho} (I - \text{prox}_{\rho \bar{g}})\tilde{\theta}, \quad \rho = \gamma$$

- Dérive PGdual :

$$\tilde{\mu}^{PG}(\tilde{\theta}) = \text{prox}_{\gamma \bar{g}} \left(\tilde{\theta} - \gamma \bar{A}^{-\top} \nabla f(\bar{A}^{-1}\tilde{\theta}) \right)$$

(Artigas, 2022, *EUSIPCO*; Fort et col, 2022, *preprint*)

- Dérive marché aléatoire duale : $\tilde{\mu}^{RM}(\tilde{\theta}) = \tilde{\theta}$

Exemple : MCMC pour la régression logistique pénalisée

Modèle

- $X \in \mathbb{R}^{N \times d}$: matrice des covariables,
- $\theta^* \in \mathbb{R}^d$: vecteur de régression constant par blocs,
- $Y \in \{0, 1\}^N$: vecteur de réponses binaires

$$Y_j \sim \text{Bernoulli}\left(\left(1 + \exp(-(\mathbf{X}\theta^*)_j)\right)^{-1}\right), \quad \text{indépendantes.}$$

Exemple : MCMC pour la régression logistique pénalisée

Modèle

- $X \in \mathbb{R}^{N \times d}$: matrice des covariables,
- $\theta^* \in \mathbb{R}^d$: vecteur de régression constant par blocs,
- $Y \in \{0, 1\}^N$: vecteur de réponses binaires

$$Y_j \sim \text{Bernoulli}\left(\left(1 + \exp(-(\mathbf{X}\theta^*)_j)\right)^{-1}\right), \quad \text{indépendantes.}$$

Log-distribution *a posteriori*

$D_1 \in \mathbb{R}^{d-1 \times d}$: gradient discret

$$\ln \pi_t(\theta) = Y^\top X\theta - \sum_{j=1}^N \ln(1 + \exp((X\theta)_j)) - \lambda \|D_1\theta\|_1$$

Exemple : MCMC pour la régression logistique pénalisée

Modèle

- $X \in \mathbb{R}^{N \times d}$: matrice des covariables,
- $\theta^* \in \mathbb{R}^d$: vecteur de régression constant par blocs,
- $Y \in \{0, 1\}^N$: vecteur de réponses binaires

$$Y_j \sim \text{Bernoulli} \left((1 + \exp(-(X\theta^*)_j))^{-1} \right), \quad \text{indépendantes.}$$

Log-distribution *a posteriori*

$D_1 \in \mathbb{R}^{d-1 \times d}$: gradient discret

$$\ln \pi_t(\theta) = Y^\top X\theta - \sum_{j=1}^N \ln (1 + \exp((X\theta)_j)) - \lambda \|D_1\theta\|_1$$

$$\text{PGdec : } \|D_1\theta\|_1 = \underbrace{\|D_{1,p}\theta\|_1}_{\text{lignes paires}} + \underbrace{\|D_{1,i}\theta\|_1}_{\text{lignes impaires}}$$

$$D_{1,p} D_{1,p}^\top = D_{1,i} D_{1,i}^\top = \nu I, \nu = 1;$$

Exemple : MCMC pour la régression logistique pénalisée

Modèle

- $X \in \mathbb{R}^{N \times d}$: matrice des covariables,
- $\theta^* \in \mathbb{R}^d$: vecteur de régression constant par blocs,
- $Y \in \{0, 1\}^N$: vecteur de réponses binaires

$$Y_j \sim \text{Bernoulli} \left((1 + \exp(-(X\theta^*)_j))^{-1} \right), \quad \text{indépendantes.}$$

Log-distribution *a posteriori*

$D_1 \in \mathbb{R}^{d-1 \times d}$: gradient discret

$$\ln \pi_t(\theta) = Y^\top X\theta - \sum_{j=1}^N \ln (1 + \exp((X\theta)_j)) - \lambda \|D_1\theta\|_1$$

PGdec : $\|D_1\theta\|_1 = \underbrace{\|D_{1,p}\theta\|_1}_{\text{lignes paires}} + \underbrace{\|D_{1,i}\theta\|_1}_{\text{lignes impaires}},$

$$D_{1,p} D_{1,p}^\top = D_{1,i} D_{1,i}^\top = \nu I, \nu = 1;$$

*dual : $\bar{D}_1 = \begin{pmatrix} -1 & 0 \dots 0 \\ 0 & \\ \vdots & D_1 \\ 0 & \end{pmatrix} \Rightarrow \text{extension inversible de } D_1.$

Exemple : MCMC pour la régression logistique pénalisée

Modèle

- $X \in \mathbb{R}^{N \times d}$: matrice des covariables,
- $\theta^* \in \mathbb{R}^d$: vecteur de régression constant par blocs,
- $Y \in \{0, 1\}^N$: vecteur de réponses binaires

$$Y_j \sim \text{Bernoulli} \left((1 + \exp(-(X\theta^*)_j))^{-1} \right), \quad \text{indépendantes.}$$

Log-distribution *a posteriori*

$D_1 \in \mathbb{R}^{d-1 \times d}$: gradient discret

$$\ln \pi_t(\theta) = Y^\top X\theta - \sum_{j=1}^N \ln (1 + \exp((X\theta)_j)) - \lambda \|D_1\theta\|_1$$

PGdec : $\|D_1\theta\|_1 = \underbrace{\|D_{1,p}\theta\|_1}_{\text{lignes paires}} + \underbrace{\|D_{1,i}\theta\|_1}_{\text{lignes impaires}}$,

$$D_{1,p} D_{1,p}^\top = D_{1,i} D_{1,i}^\top = \nu I, \nu = 1;$$

*dual : $\bar{D}_1 = \begin{pmatrix} -1 & 0 \dots 0 \\ 0 & \\ \vdots & D_1 \\ 0 & \end{pmatrix} \Rightarrow \text{extension inversible de } D_1.$

Données $N = 2.10^3, d = 20$

X : v.a. de Rademacher indépendantes, lignes normalisées à 1.

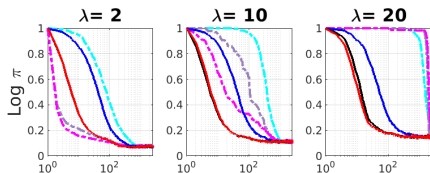
Exemple jouet : vitesse de convergence des chaînes de Markov

Indicateur de convergence :

$$\text{Log } \pi = \frac{\ln \pi_t(\theta^n) - \ln \pi_t^*}{\ln \pi_t(\theta^1) - \ln \pi_t^*}, \quad \ln \pi_t^* = \max_{\theta \in \mathbb{R}} \ln \pi_t(\theta) \quad \text{régions de grande probabilité}$$

Comparaison des méthodes

primales <i>en traits pleins</i>	duales <i>en pointillés</i>
RW	RW _{dual}
M	M _{dual}
PGdec	PG _{dual}



- gain à utiliser l'ordre un vs. RW ;
- méthodes primales : les meilleures à λ petit ;
- méthodes duales : les plus rapides pour λ moyen à grand, correctes pour λ petit.

⇒ M_{dual} et PG_{dual} bonnes performances ; robustes au choix de λ

Échantillonneurs duaux pour l'estimation du taux de reproduction

[Mdual] dérive de type Moreau sur le dual $\gamma = \rho$

$$\mathbf{R}^{n+\frac{1}{2}} = \mathbf{R}^n - \gamma \bar{\mathbf{D}}_2^{-1} \bar{\mathbf{D}}_2^{-\top} \nabla_{\mathbf{R}} f(\boldsymbol{\theta}^n) - \bar{\mathbf{D}}_2^{-1} [0; 0; \mathbf{D}_2 \boldsymbol{\theta}^n - \text{prox}_{\gamma \lambda_{\mathbf{R}} \|\cdot\|_1}(\mathbf{D}_2 \mathbf{R}^n)] + \sqrt{2\gamma} \xi_{\mathbf{R}}^{n+1},$$

$$\mathbf{O}^{n+\frac{1}{2}} = -\gamma_0 \nabla_{\mathbf{O}} f(\boldsymbol{\theta}^n) + \text{prox}_{\gamma_0 \lambda_{\mathbf{O}} \|\cdot\|_1}(\mathbf{O}^n) + \sqrt{2\gamma_0} \xi_{\mathbf{O}}^{n+1};$$

[PGdual] dérive de type proximal-gradient sur le dual

$$\mathbf{R}^{n+\frac{1}{2}} = \bar{\mathbf{D}}_2^{-1} \text{prox}_{\gamma \lambda_{\mathbf{R}} \|\cdot\|_1} \left(\bar{\mathbf{D}}_2 \mathbf{R}^n - \gamma \bar{\mathbf{D}}_2^{-\top} \nabla_{\mathbf{R}} f(\boldsymbol{\theta}^n) \right) + \sqrt{2\gamma} \xi_{\mathbf{R}}^{n+1},$$

$$\mathbf{O}^{n+\frac{1}{2}} = \text{prox}_{\gamma_0 \lambda_{\mathbf{O}} \|\cdot\|_1} (\mathbf{O}^n - \gamma_0 \nabla_{\mathbf{O}} f(\boldsymbol{\theta}^n)) + \sqrt{2\gamma_0} \xi_{\mathbf{O}}^{n+1}.$$

$\nabla_{\mathbf{R}/\mathbf{O}}$: gradient partiel par rapport à R/O ;

Échantillonneurs duaux pour l'estimation du taux de reproduction

[Mdual] dérive de type Moreau sur le dual $\gamma = \rho$

$$\mathbf{R}^{n+\frac{1}{2}} = \mathbf{R}^n - \gamma \bar{\mathbf{D}}_2^{-1} \bar{\mathbf{D}}_2^{-\top} \nabla_{\mathbf{R}} f(\boldsymbol{\theta}^n) - \bar{\mathbf{D}}_2^{-1} [0; 0; \mathbf{D}_2 \boldsymbol{\theta}^n - \text{prox}_{\gamma \lambda_{\mathbf{R}} \|\cdot\|_1}(\mathbf{D}_2 \mathbf{R}^n)] + \sqrt{2\gamma} \xi_{\mathbf{R}}^{n+1},$$

$$\mathbf{O}^{n+\frac{1}{2}} = -\gamma_0 \nabla_{\mathbf{O}} f(\boldsymbol{\theta}^n) + \text{prox}_{\gamma_0 \lambda_{\mathbf{O}} \|\cdot\|_1}(\mathbf{O}^n) + \sqrt{2\gamma_0} \xi_{\mathbf{O}}^{n+1};$$

[PGdual] dérive de type proximal-gradient sur le dual

$$\mathbf{R}^{n+\frac{1}{2}} = \bar{\mathbf{D}}_2^{-1} \text{prox}_{\gamma \lambda_{\mathbf{R}} \|\cdot\|_1} \left(\bar{\mathbf{D}}_2 \mathbf{R}^n - \gamma \bar{\mathbf{D}}_2^{-\top} \nabla_{\mathbf{R}} f(\boldsymbol{\theta}^n) \right) + \sqrt{2\gamma} \xi_{\mathbf{R}}^{n+1},$$

$$\mathbf{O}^{n+\frac{1}{2}} = \text{prox}_{\gamma_0 \lambda_{\mathbf{O}} \|\cdot\|_1} (\mathbf{O}^n - \gamma_0 \nabla_{\mathbf{O}} f(\boldsymbol{\theta}^n)) + \sqrt{2\gamma_0} \xi_{\mathbf{O}}^{n+1}.$$

$\nabla_{\mathbf{R}/\mathbf{O}}$: gradient partiel par rapport à R/O ;

Perturbations gaussiennes :

- $\xi_{\mathbf{R}}^{n+1} \sim \mathcal{N}(0, \bar{\mathbf{D}}_2^{-1} \bar{\mathbf{D}}_2^{-\top})$,
- $\xi_{\mathbf{O}}^{n+1} \sim \mathcal{N}(0, \mathbf{I})$;

Paramètres :

- $(\lambda_{\mathbf{R}}, \lambda_{\mathbf{O}}) = (3.5 \sigma_z \sqrt{6}/4, 0.05)$,
- $\gamma_0 = \gamma (\lambda_{\mathbf{R}}/\lambda_{\mathbf{O}})^2$,
- γ ajusté pour accepter 25% des $\boldsymbol{\theta}^{n+\frac{1}{2}}$.

Échantillonneurs duaux pour l'estimation du taux de reproduction

[Mdual] dérive de type Moreau sur le dual $\gamma = \rho$

$$\mathbf{R}^{n+\frac{1}{2}} = \mathbf{R}^n - \gamma \bar{\mathbf{D}}_2^{-1} \bar{\mathbf{D}}_2^{-\top} \nabla_{\mathbf{R}} f(\boldsymbol{\theta}^n) - \bar{\mathbf{D}}_2^{-1} [0; 0; \mathbf{D}_2 \boldsymbol{\theta}^n - \text{prox}_{\gamma \lambda_{\mathbf{R}} \|\cdot\|_1}(\mathbf{D}_2 \mathbf{R}^n)] + \sqrt{2\gamma} \xi_{\mathbf{R}}^{n+1},$$

$$\mathbf{O}^{n+\frac{1}{2}} = -\gamma_0 \nabla_{\mathbf{O}} f(\boldsymbol{\theta}^n) + \text{prox}_{\gamma_0 \lambda_{\mathbf{O}} \|\cdot\|_1}(\mathbf{O}^n) + \sqrt{2\gamma_0} \xi_{\mathbf{O}}^{n+1};$$

[PGdual] dérive de type proximal-gradient sur le dual

$$\mathbf{R}^{n+\frac{1}{2}} = \bar{\mathbf{D}}_2^{-1} \text{prox}_{\gamma \lambda_{\mathbf{R}} \|\cdot\|_1} \left(\bar{\mathbf{D}}_2 \mathbf{R}^n - \gamma \bar{\mathbf{D}}_2^{-\top} \nabla_{\mathbf{R}} f(\boldsymbol{\theta}^n) \right) + \sqrt{2\gamma} \xi_{\mathbf{R}}^{n+1},$$

$$\mathbf{O}^{n+\frac{1}{2}} = \text{prox}_{\gamma_0 \lambda_{\mathbf{O}} \|\cdot\|_1} (\mathbf{O}^n - \gamma_0 \nabla_{\mathbf{O}} f(\boldsymbol{\theta}^n)) + \sqrt{2\gamma_0} \xi_{\mathbf{O}}^{n+1}.$$

$\nabla_{\mathbf{R}/\mathbf{O}}$: gradient partiel par rapport à R/O ;

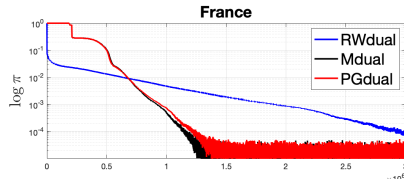
Perturbations gaussiennes :

$$-\xi_{\mathbf{R}}^{n+1} \sim \mathcal{N}(0, \bar{\mathbf{D}}_2^{-1} \bar{\mathbf{D}}_2^{-\top}),$$
$$-\xi_{\mathbf{O}}^{n+1} \sim \mathcal{N}(0, \mathbf{I});$$

Paramètres :

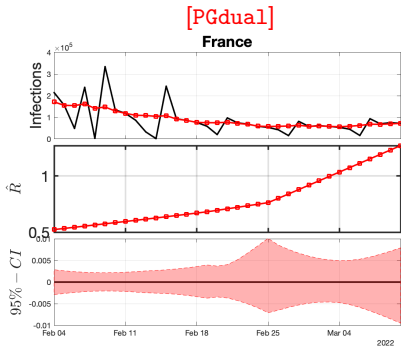
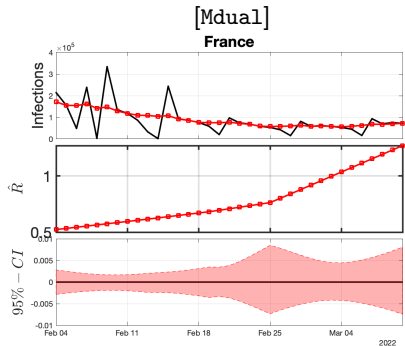
- $(\lambda_{\mathbf{R}}, \lambda_{\mathbf{O}}) = (3.5 \sigma_z \sqrt{6}/4, 0.05)$,
- $\gamma_0 = \gamma (\lambda_{\mathbf{R}}/\lambda_{\mathbf{O}})^2$,
- γ ajusté pour accepter 25% des $\boldsymbol{\theta}^{n+\frac{1}{2}}$.

Vitesse de convergence des chaînes de Markov



Estimation par intervalles de crédibilité

- Nombre de nouvelles infections débruités $\mathbf{Z}^{(D)} = \mathbf{Z} - \hat{\mathbf{O}}$
- Coefficient de reproduction \hat{R}

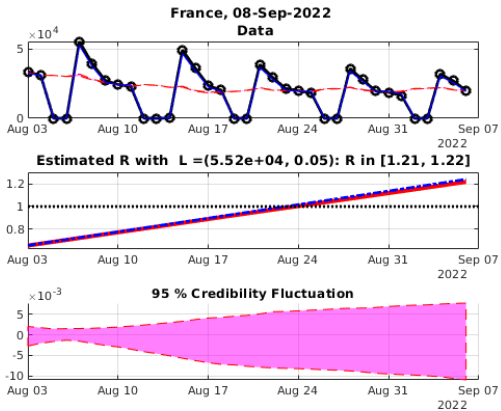


⇒ crucial pour appuyer des mesures sanitaires sur l'estimée R_T

Nombre de cas débruité et intervalles de crédibilité de R_t postés quotidiennement

<https://perso.ens-lyon.fr/patrice.abry/>

<https://perso.math.univ-toulouse.fr/gfort/project/opsimore-2/>



Pistes de recherche et perspectives :

- Réglage automatique piloté par les données des hyperparamètres $\gamma_{R/O}$, $\lambda_{R/O}$;
- Gestion de données reportées de moins en moins régulièrement.